

Starkniederschlagshöhen und -spenden gemäß KOSTRA-DWD-2020

Rasterfeld 120205

(Zeile 120, Spalte 205)

Regenspende und Bemessungsniederschlagswerte in Abhängigkeit von Wiederkehrzeit T und Dauerstufe D

| Dauerstufe D | | Wiederkehrzeit T | | | | | | | | | | | | | | | | | |
|--------------|-----|------------------|------------|------|------------|------|------------|------|------------|-------|------------|-------|------------|-------|------------|-------|------------|-------|------------|
| | | 1 a | | 2 a | | 3 a | | 5 a | | 10 a | | 20 a | | 30 a | | 50 a | | 100 a | |
| min | Std | mm | l / (s ha) | mm | l / (s ha) | mm | l / (s ha) | mm | l / (s ha) | mm | l / (s ha) | mm | l / (s ha) | mm | l / (s ha) | mm | l / (s ha) | mm | l / (s ha) |
| 5 | | 7,0 | 233,3 | 8,9 | 296,7 | 10,1 | 336,7 | 11,6 | 386,7 | 13,8 | 460,0 | 16,1 | 536,7 | 17,6 | 586,7 | 19,5 | 650,0 | 22,3 | 743,3 |
| 10 | | 9,1 | 151,7 | 11,5 | 191,7 | 13,0 | 216,7 | 15,0 | 250,0 | 17,9 | 298,3 | 20,8 | 346,7 | 22,8 | 380,0 | 25,3 | 421,7 | 28,9 | 481,7 |
| 15 | | 10,4 | 115,6 | 13,1 | 145,6 | 14,9 | 165,6 | 17,1 | 190,0 | 20,4 | 226,7 | 23,7 | 263,3 | 25,9 | 287,8 | 28,8 | 320,0 | 32,9 | 365,6 |
| 20 | | 11,3 | 94,2 | 14,3 | 119,2 | 16,2 | 135,0 | 18,7 | 155,8 | 22,2 | 185,0 | 25,9 | 215,8 | 28,3 | 235,8 | 31,4 | 261,7 | 35,9 | 299,2 |
| 30 | | 12,7 | 70,6 | 16,1 | 89,4 | 18,2 | 101,1 | 20,9 | 116,1 | 24,9 | 138,3 | 29,0 | 161,1 | 31,7 | 176,1 | 35,2 | 195,6 | 40,3 | 223,9 |
| 45 | | 14,1 | 52,2 | 17,9 | 66,3 | 20,3 | 75,2 | 23,4 | 86,7 | 27,8 | 103,0 | 32,4 | 120,0 | 35,4 | 131,1 | 39,3 | 145,6 | 44,9 | 166,3 |
| 60 | 1 | 15,3 | 42,5 | 19,3 | 53,6 | 21,9 | 60,8 | 25,2 | 70,0 | 30,0 | 83,3 | 34,9 | 96,9 | 38,1 | 105,8 | 42,4 | 117,8 | 48,4 | 134,4 |
| 90 | 1,5 | 16,9 | 31,3 | 21,4 | 39,6 | 24,2 | 44,8 | 27,9 | 51,7 | 33,2 | 61,5 | 38,7 | 71,7 | 42,3 | 78,3 | 47,0 | 87,0 | 53,7 | 99,4 |
| 120 | 2 | 18,2 | 25,3 | 23,0 | 31,9 | 26,1 | 36,3 | 30,0 | 41,7 | 35,7 | 49,6 | 41,6 | 57,8 | 45,4 | 63,1 | 50,5 | 70,1 | 57,7 | 80,1 |
| 180 | 3 | 20,1 | 18,6 | 25,5 | 23,6 | 28,8 | 26,7 | 33,2 | 30,7 | 39,5 | 36,6 | 46,0 | 42,6 | 50,2 | 46,5 | 55,8 | 51,7 | 63,8 | 59,1 |
| 240 | 4 | 21,6 | 15,0 | 27,3 | 19,0 | 30,9 | 21,5 | 35,6 | 24,7 | 42,4 | 29,4 | 49,3 | 34,2 | 53,9 | 37,4 | 59,9 | 41,6 | 68,5 | 47,6 |
| 360 | 6 | 23,8 | 11,0 | 30,2 | 14,0 | 34,1 | 15,8 | 39,3 | 18,2 | 46,8 | 21,7 | 54,5 | 25,2 | 59,5 | 27,5 | 66,1 | 30,6 | 75,6 | 35,0 |
| 540 | 9 | 26,3 | 8,1 | 33,3 | 10,3 | 37,6 | 11,6 | 43,4 | 13,4 | 51,6 | 15,9 | 60,1 | 18,5 | 65,6 | 20,2 | 72,9 | 22,5 | 83,4 | 25,7 |
| 720 | 12 | 28,1 | 6,5 | 35,7 | 8,3 | 40,3 | 9,3 | 46,5 | 10,8 | 55,3 | 12,8 | 64,4 | 14,9 | 70,4 | 16,3 | 78,2 | 18,1 | 89,4 | 20,7 |
| 1080 | 18 | 31,0 | 4,8 | 39,3 | 6,1 | 44,5 | 6,9 | 51,2 | 7,9 | 61,0 | 9,4 | 71,0 | 11,0 | 77,6 | 12,0 | 86,2 | 13,3 | 98,5 | 15,2 |
| 1440 | 24 | 33,3 | 3,9 | 42,2 | 4,9 | 47,7 | 5,5 | 54,9 | 6,4 | 65,3 | 7,6 | 76,1 | 8,8 | 83,1 | 9,6 | 92,4 | 10,7 | 105,6 | 12,2 |
| 2880 | 48 | 39,3 | 2,3 | 49,8 | 2,9 | 56,3 | 3,3 | 64,9 | 3,8 | 77,2 | 4,5 | 89,9 | 5,2 | 98,2 | 5,7 | 109,1 | 6,3 | 124,7 | 7,2 |
| 4320 | 72 | 43,3 | 1,7 | 54,9 | 2,1 | 62,1 | 2,4 | 71,5 | 2,8 | 85,1 | 3,3 | 99,1 | 3,8 | 108,2 | 4,2 | 120,3 | 4,6 | 137,5 | 5,3 |
| 5760 | 96 | 46,4 | 1,3 | 58,8 | 1,7 | 66,5 | 1,9 | 76,6 | 2,2 | 91,1 | 2,6 | 106,2 | 3,1 | 116,0 | 3,4 | 128,9 | 3,7 | 147,3 | 4,3 |
| 7200 | 120 | 48,9 | 1,1 | 62,0 | 1,4 | 70,2 | 1,6 | 80,8 | 1,9 | 96,2 | 2,2 | 112,0 | 2,6 | 122,4 | 2,8 | 135,9 | 3,1 | 155,4 | 3,6 |
| 8640 | 144 | 51,1 | 1,0 | 64,8 | 1,3 | 73,3 | 1,4 | 84,4 | 1,6 | 100,5 | 1,9 | 117,0 | 2,3 | 127,8 | 2,5 | 142,0 | 2,7 | 162,3 | 3,1 |
| 10080 | 168 | 53,1 | 0,9 | 67,3 | 1,1 | 76,0 | 1,3 | 87,6 | 1,4 | 104,2 | 1,7 | 121,4 | 2,0 | 132,6 | 2,2 | 147,4 | 2,4 | 168,5 | 2,8 |

Starkniederschlagshöhen und -spenden gemäß KOSTRA-DWD-2020

Rasterfeld 120205

(Zeile 120, Spalte 205)

Örtliche Unsicherheiten in Abhängigkeit von Wiederkehrzeit T und Dauerstufe D

| Dauerstufe D | | Wiederkehrzeit T | | | | | | | | |
|--------------|-----|------------------|-----|-----|-----|------|------|------|------|-------|
| | | 1 a | 2 a | 3 a | 5 a | 10 a | 20 a | 30 a | 50 a | 100 a |
| min | Std | ± % | ± % | ± % | ± % | ± % | ± % | ± % | ± % | ± % |
| 5 | | 12 | 12 | 12 | 13 | 14 | 15 | 15 | 15 | 16 |
| 10 | | 13 | 15 | 16 | 17 | 19 | 20 | 20 | 21 | 21 |
| 15 | | 15 | 18 | 19 | 20 | 21 | 22 | 23 | 23 | 24 |
| 20 | | 17 | 19 | 20 | 21 | 23 | 24 | 24 | 25 | 25 |
| 30 | | 18 | 20 | 22 | 23 | 24 | 25 | 26 | 26 | 27 |
| 45 | | 18 | 21 | 22 | 23 | 25 | 26 | 26 | 27 | 28 |
| 60 | 1 | 18 | 21 | 22 | 23 | 25 | 26 | 26 | 27 | 28 |
| 90 | 1,5 | 18 | 21 | 22 | 23 | 24 | 25 | 26 | 27 | 27 |
| 120 | 2 | 17 | 20 | 21 | 23 | 24 | 25 | 25 | 26 | 27 |
| 180 | 3 | 16 | 19 | 20 | 22 | 23 | 24 | 25 | 25 | 26 |
| 240 | 4 | 16 | 18 | 20 | 21 | 22 | 23 | 24 | 24 | 25 |
| 360 | 6 | 15 | 17 | 18 | 20 | 21 | 22 | 23 | 23 | 24 |
| 540 | 9 | 14 | 16 | 17 | 19 | 20 | 21 | 21 | 22 | 23 |
| 720 | 12 | 14 | 16 | 17 | 18 | 19 | 20 | 21 | 21 | 22 |
| 1080 | 18 | 13 | 15 | 16 | 17 | 18 | 19 | 20 | 20 | 21 |
| 1440 | 24 | 13 | 15 | 16 | 17 | 18 | 18 | 19 | 19 | 20 |
| 2880 | 48 | 13 | 14 | 15 | 16 | 17 | 17 | 18 | 18 | 19 |
| 4320 | 72 | 14 | 15 | 15 | 16 | 16 | 17 | 17 | 18 | 18 |
| 5760 | 96 | 15 | 15 | 15 | 16 | 16 | 17 | 17 | 18 | 18 |
| 7200 | 120 | 15 | 15 | 16 | 16 | 16 | 17 | 17 | 18 | 18 |
| 8640 | 144 | 16 | 16 | 16 | 16 | 17 | 17 | 17 | 18 | 18 |
| 10080 | 168 | 16 | 16 | 16 | 16 | 17 | 17 | 17 | 18 | 18 |

Parameter für abweichende T und D

Lokationsparameter ξ (Xi)

15,55180547

Skalenparameter α (Alpha)

5,78500155

Formparameter κ (Kappa)

-0,1

1. Koutsoyiannis-Parameter θ (Theta)

0,02481082

2. Koutsoyiannis-Parameter η (Eta)

0,76033494

Parameter für dauerstufenübergreifende Extremwertschätzung nach KOUTSOYIANNIS et al. 1998.

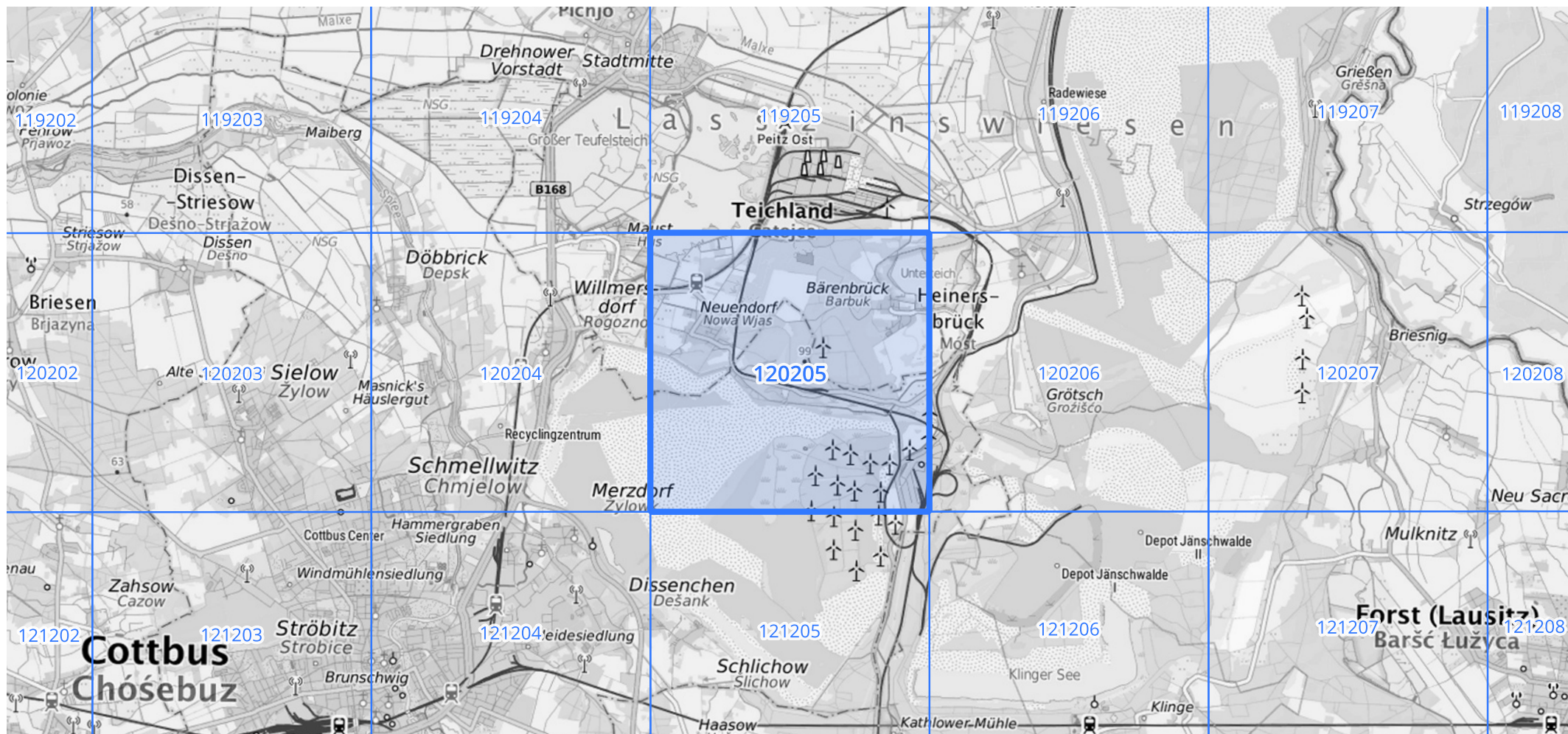
Siehe auch Anwendungshilfe zu KOSTRA-DWD-2020 des Deutschen Wetterdienstes.

Starkniederschlagshöhen und -spenden gemäß KOSTRA-DWD-2020

Rasterfeld 120205

(Zeile 120, Spalte 205)

Übersichtskarte des Rasterfeldes 120205, M 1 : 100 000



Quelle Rasterdaten: KOSTRA-DWD-2020 des Deutschen Wetterdienstes, Stand 12/2022.

Seite 3 von 3

Kartendarstellung: © Bundesamt für Kartographie und Geodäsie (2023), Datenquellen: https://sgx.geodatenzentrum.de/web_public/gdz/datenquellen/Datenquellen_TopPlusOpen.html

Für die Richtigkeit und Aktualität der Angaben wird keine Gewähr übernommen. Erstellt 01/2023.